

MEMS・マイクロTASの研究の 現状と研究事例

京都大学 大学院工学研究科
マイクロエンジニアリング専攻
小寺秀俊

京都大学3大キャンパス

京都盆地



吉田キャンパス
教育・基礎研究

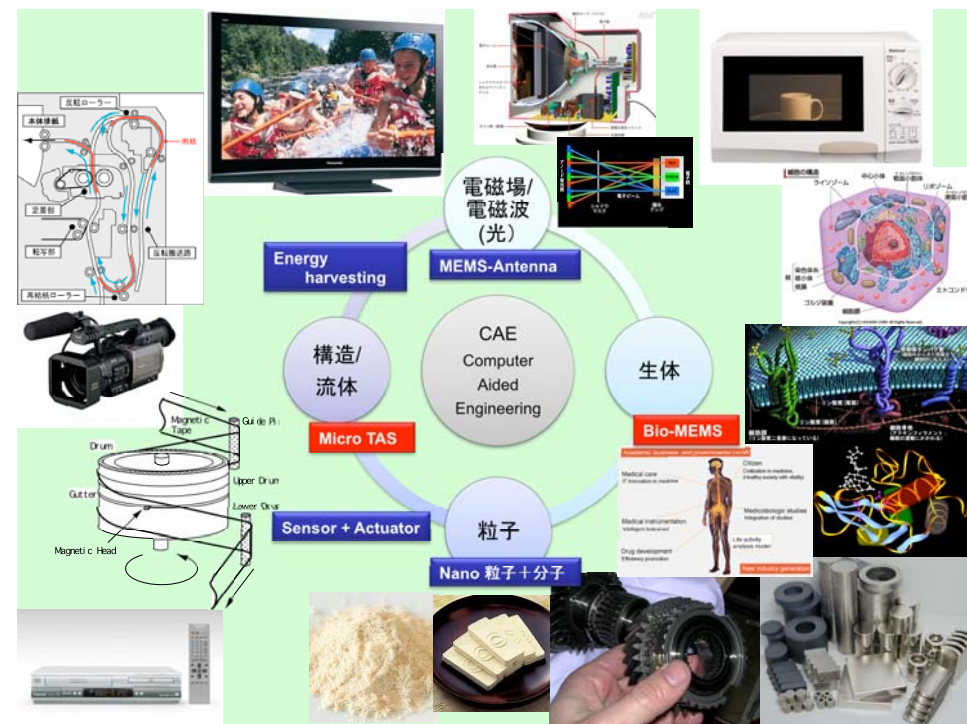
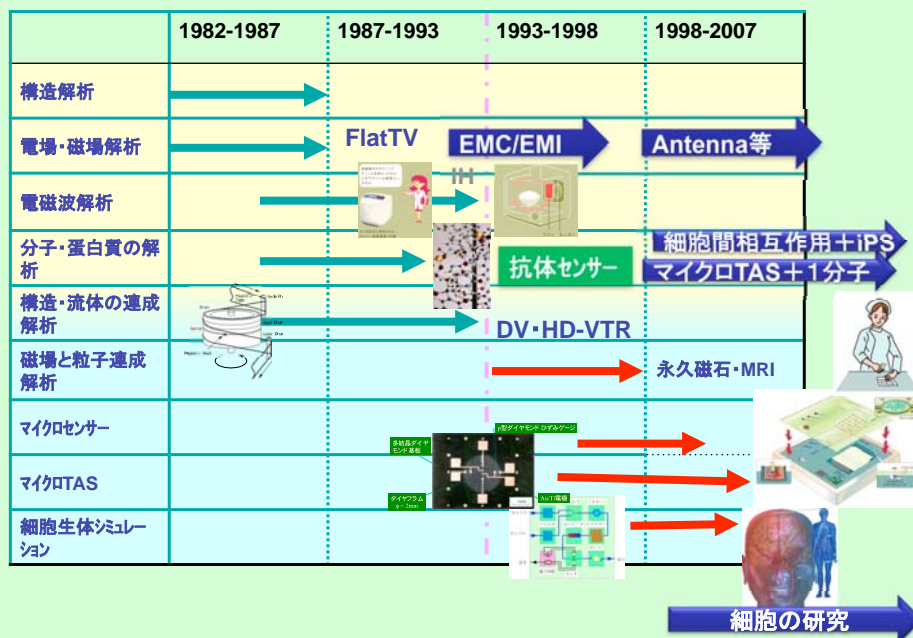
桂キャンパス
テクノサイエンス

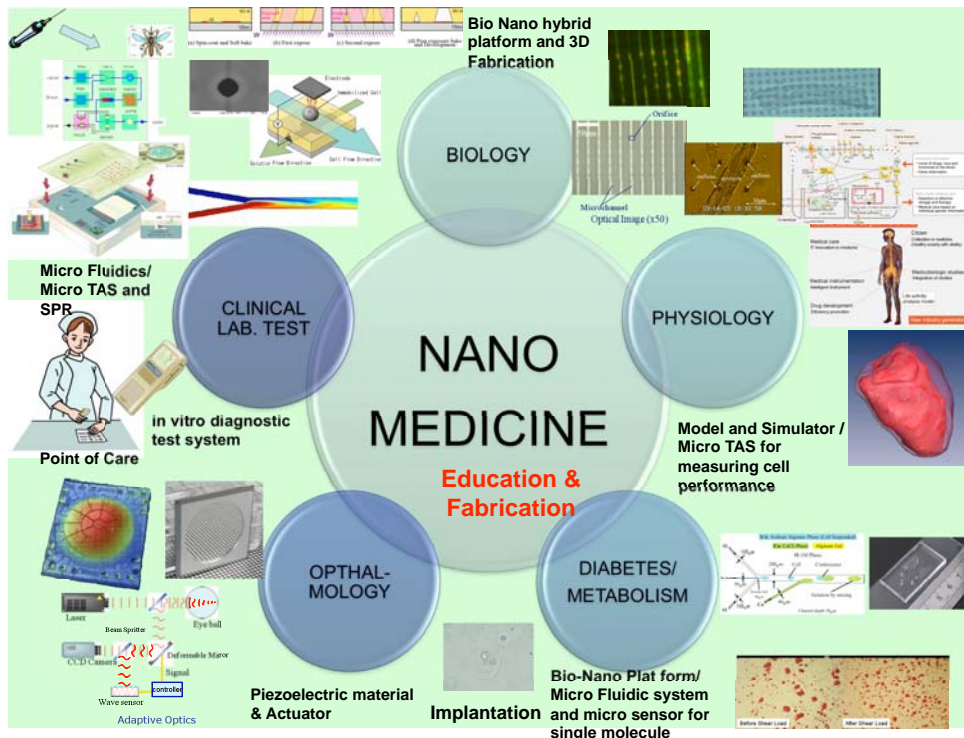


宇治キャンパス
生存基盤科学

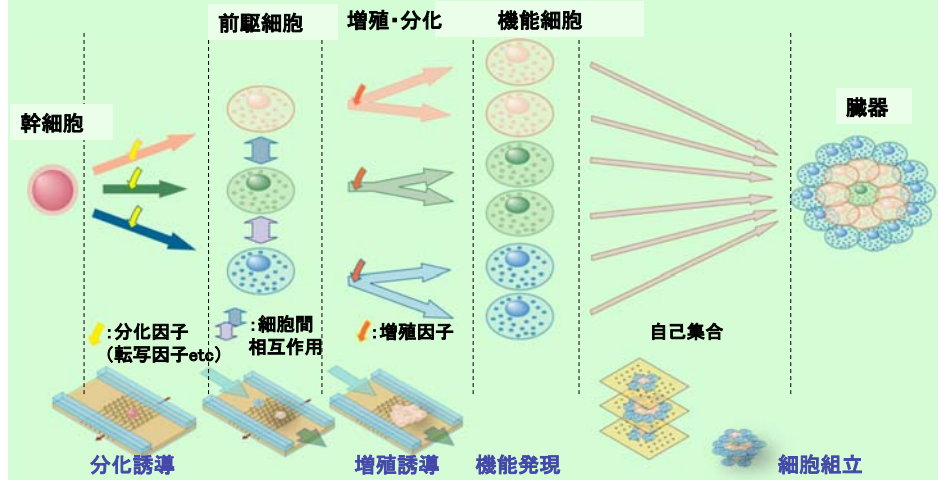


研究履歴





発生における臓器の形成



- 上のプロセスを人為的に制御・計測するためのナノ・マイクロ技術の開発を行う
- 1) 細胞間コミュニケーションの計測(分化・増殖・機能発現過程における)
 - 2) 刺激導入や分化等(脱分化・増殖)の制御のための因子導入
 - 3) MEMSを用いた細胞組立による組織再生

Structure of ISLET (Mouse)

100μm

- Aggregating Cells with Different Functions
- 3D-Construction to Function Effectively
- Secrete hormones to regulate blood glucose

α-Cells: Glucagon (Blood glucose↑)
 Cell-Cell interaction: Glucagon Secretion from α-cells inhibits Insulin secretion from β-cells

β-Cells: Insulin (Blood glucose↓)

Aggregating β-Cells secrete more dose of insulin than that in total from the same number of isolated β-Cells.
 → Cell-Cell Interaction

Development of Pancreas

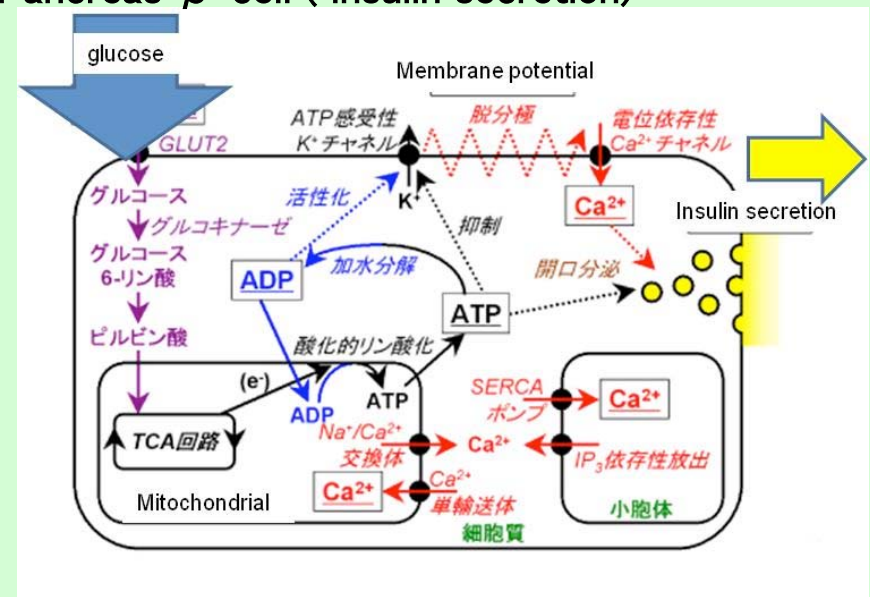
5 weeks: Heart, Ventral Pancreas, Intestine, Aorta, Dorsal Pancreas

6 weeks

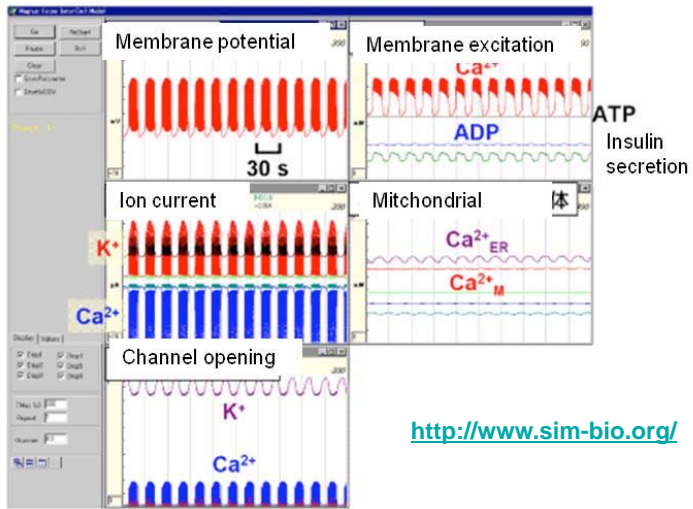
7 weeks

8 weeks

Pancreas β cell (insulin secretion)

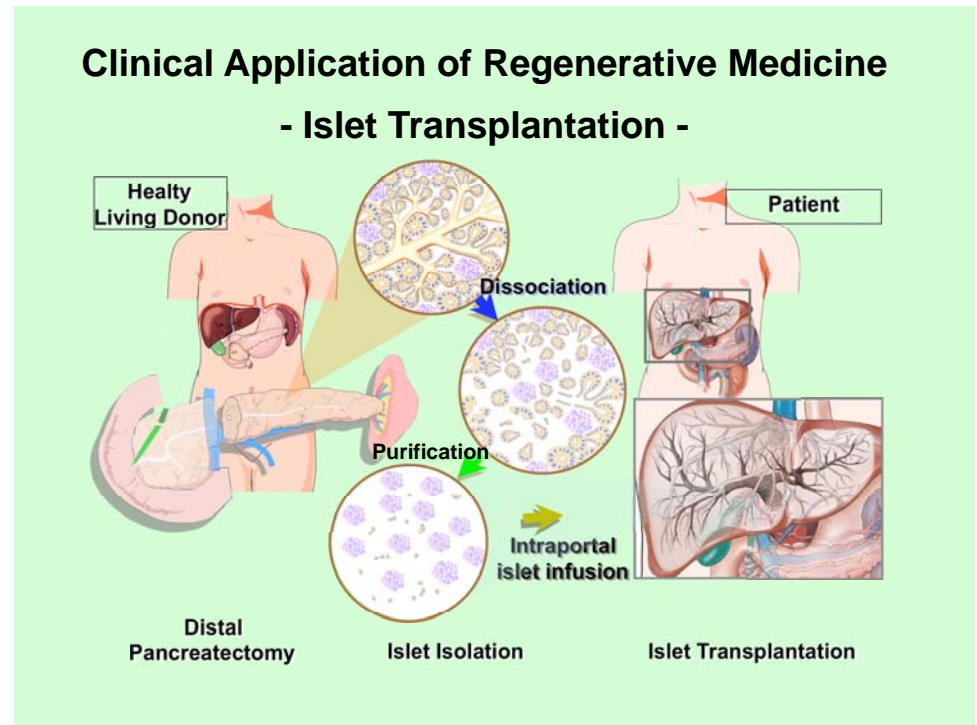
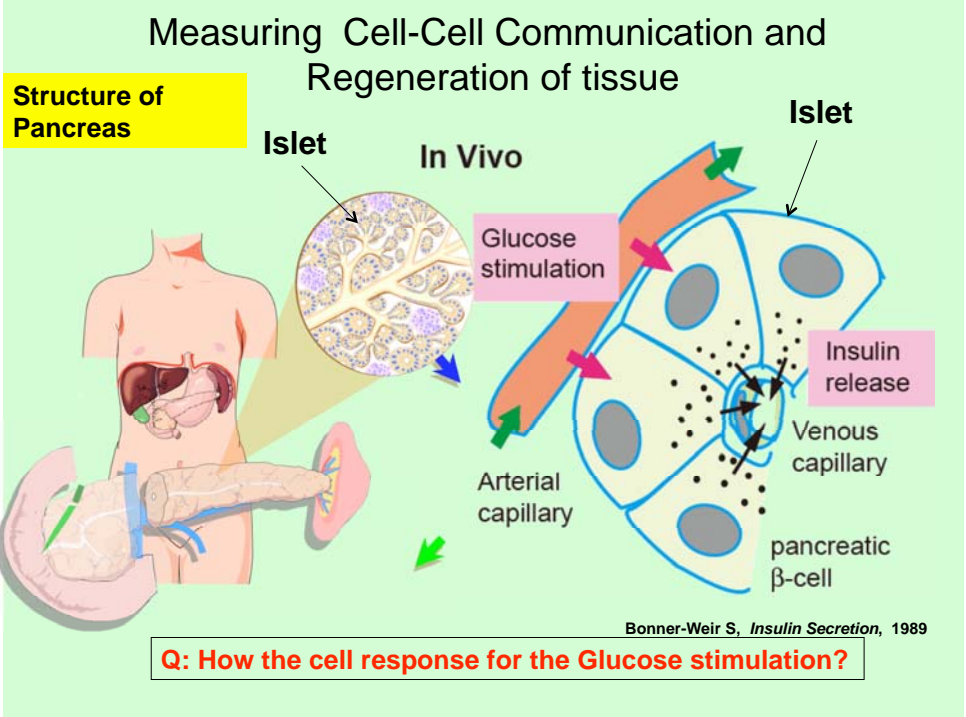
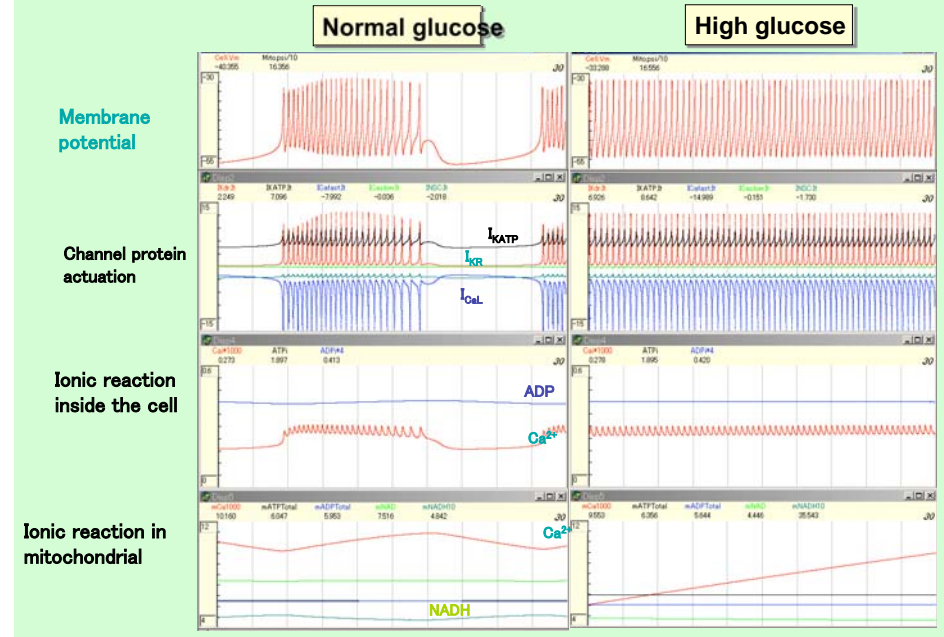


Bio Simulator



<http://www.sim-bio.org/>

Pancreas β cell (insulin secretion): Type 2 Diabetes



Structure of ISLET (Mouse)

- Aggregating Cells with Different Functions
- 3D-Construction to Function Effectively
- Secrete hormones to regulate blood glucose

α-Cells: Glucagon (Blood glucose↑)
β-Cells: Insulin (Blood glucose↓)

Cell-Cell interaction:
 Glucagon Secretion from α-cells inhibits Insulin secretion from β-cells

Aggregating β-Cells secrete more dose of insulin than that in total from the same number of isolated β-Cells.
 → Cell-Cell Interaction

Patient Number of Diabetes:
 Type 1: 50000
 Type 2: 100000000

Development of Pancreas

5 weeks 6 weeks 7 weeks 8 weeks

Artificial Pancreas

Essential specifications for the artificial pancreas to mimic pancreatic β-Cells and α-Cells

研究の目的

MEMS/NEMS
 ナノ・マイクロハンドリング技術
 微小領域における計測技術

Bio-Technology
 遺伝子分析
 蛋白質等高分子分析
 生理活性・生理機能計測・制御
 分化・発生・増殖
 ES細胞・幹葉系細胞

Top Down Bottom Up

革新的製造技術シーズ

- 高機能マイクロTASチップの量産技術
- 人為的空間配置
- 刺激応答計測
- 物質導入・局所刺激(化学的・物理的)
- 細胞間相互作用のリアルタイム計測
- 微小領域での高精度計測技術 (1細胞レベル・組織レベル)
- 選択的細胞融合

ナノ科学へのインパクト

- 細胞間相互作用
- 刺激応答
- 分化制御遺伝子・蛋白質計測
- 増殖機能の解明
- 組織再生と医療応用

バイオナノハイブリッドプラットフォーム

MEMS/NEMSを用いた新たなバイオテクノロジーを推進する製造技術の創出と研究方法の創出を実現する

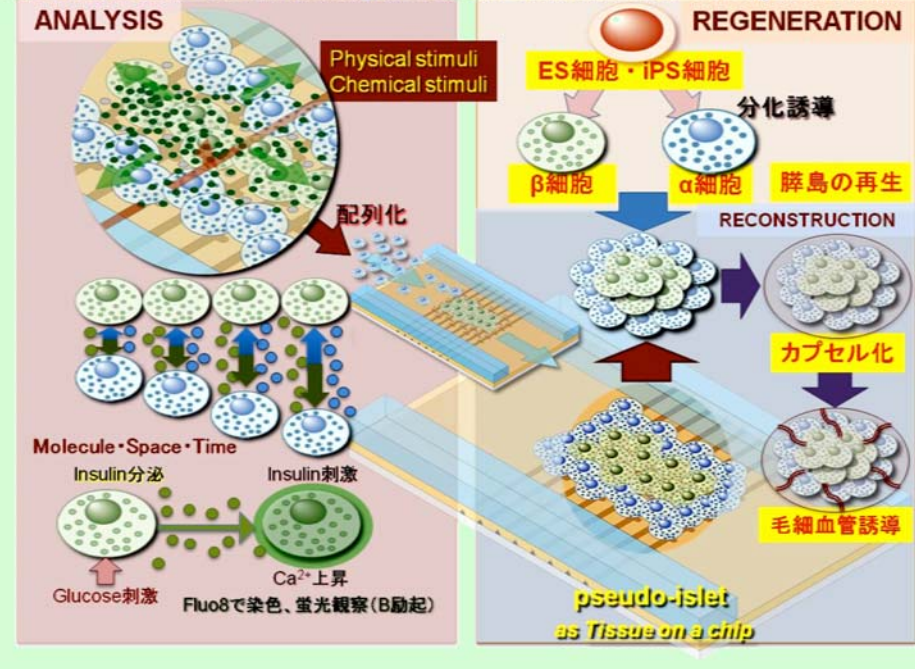
従来技術 マイクロTASを使った個々の細胞への刺激とその応答および相互作用計測技術

(i) Transwellを用いた培養

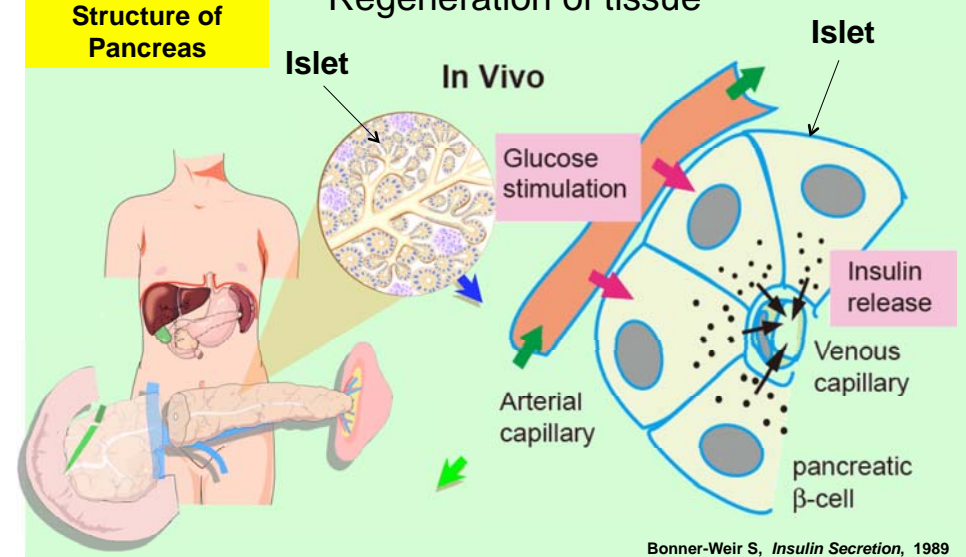
10µm

- 細胞間相互作用に方向性を持たせることが困難
- 刺激の対象が非特異的

特定の細胞に刺激を加えた時の細胞間相互作用の伝播をリアルタイム計測することができる



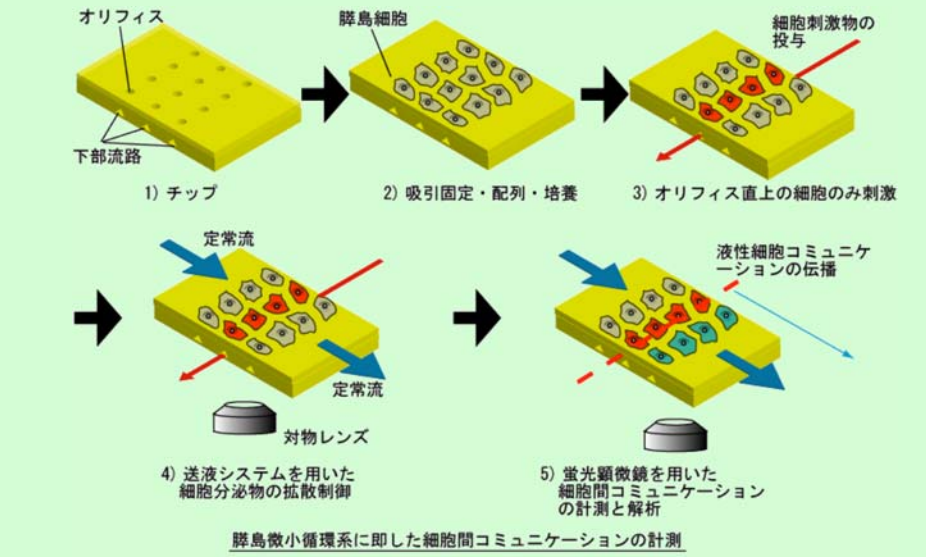
Measuring Cell-Cell Communication and Regeneration of tissue



Bonner-Weir S, *Insulin Secretion*, 1989

Q: How the cell response for the Glucose stimulation?

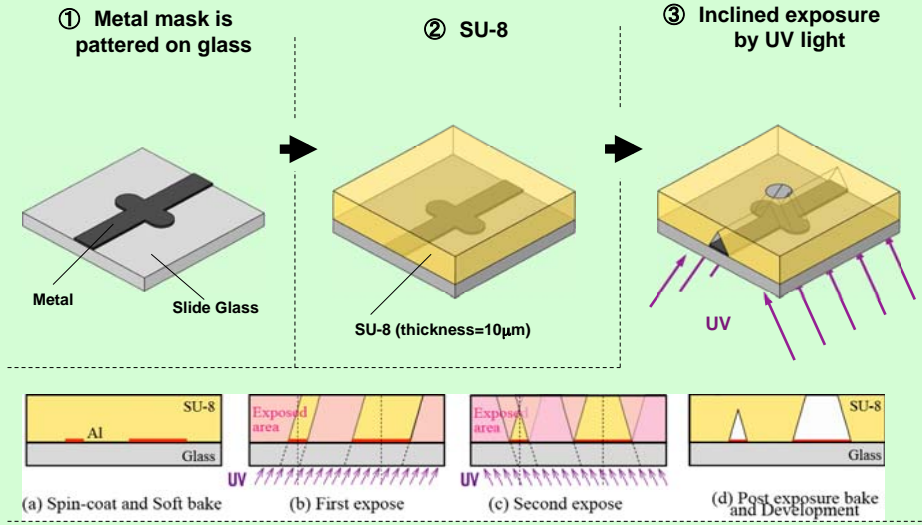
細胞間相互作用の計測 (膵β細胞を配列して局所刺激(グルコース刺激 or insulin 刺激)を行い、液性コミュニケーションをβ細胞のCa²⁺オシレーションを計測することで計測する)



膵島微小循環系に即した細胞間コミュニケーションの計測

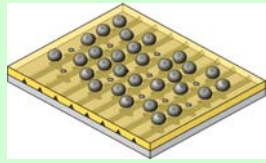
図 A-1 細胞間相互作用解析のための集積化マイクロ化学分析システムの開発・分化・増殖の誘導と制御

Single-Mask Inclined UV-Lithography

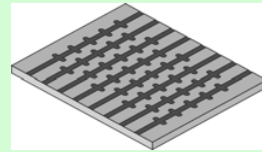
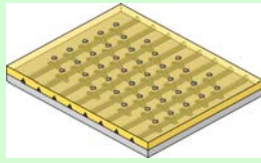


Electroporation chip

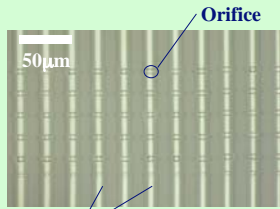
Micro channel. Orifice and electrode is fabricated simultaneously



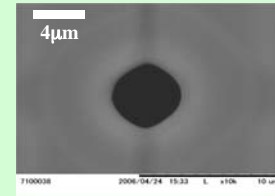
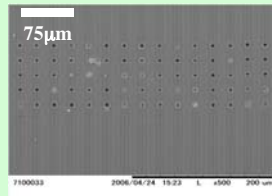
Cell array



Mask Pattern on Slide Glass



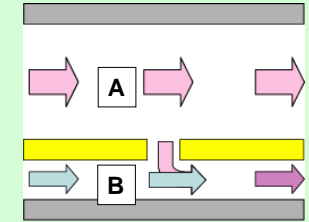
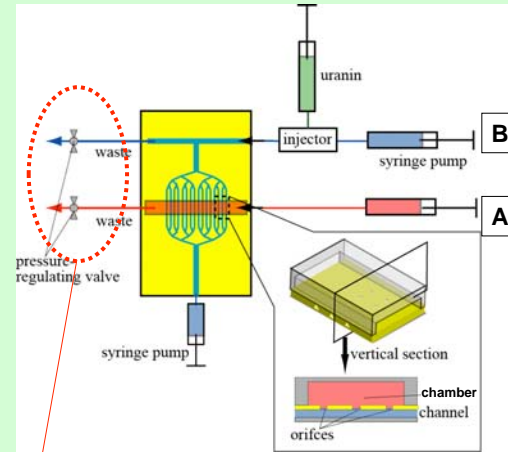
Micro-channel
Optical Image (x50)



SEM Images

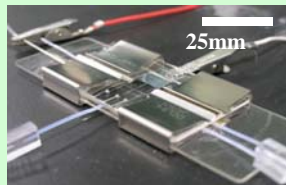
To validate microfluidic flow in micro-channels and lack of leakage from micro-orifices_1

When the micro-chamber is higher pressure than micro-channels with lower pressure, a reagent flow through micro-channels without leakage from micro-orifices



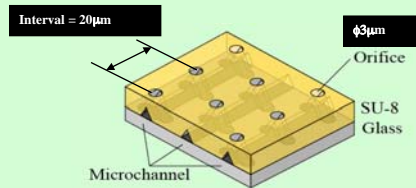
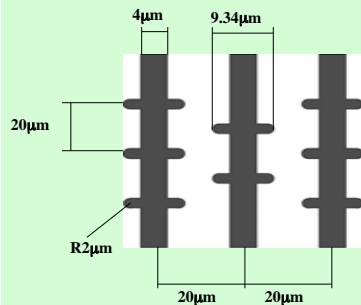
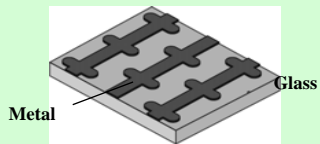
pressure
 $A > B$

pressure regulating valves

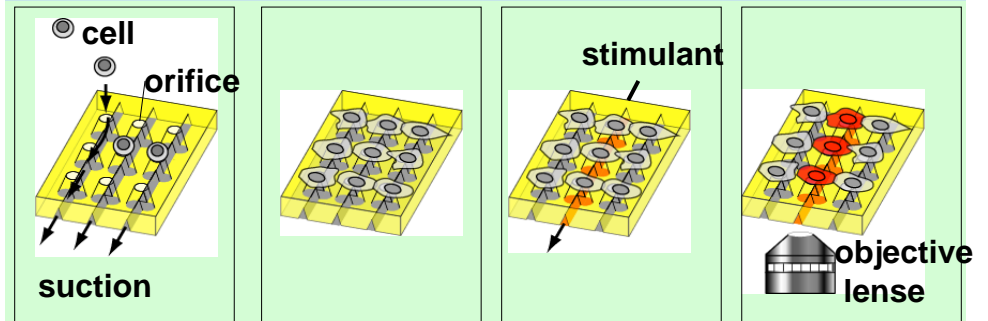


More than ten thousands of cells are measured parallel on one chip

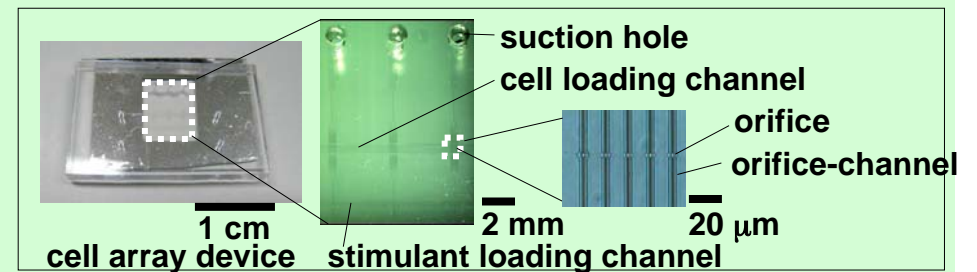
Single-MASK Inclined UV Lithography



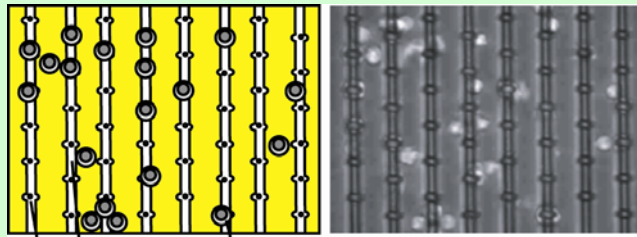
β -Cell (Min 6 m9) humoral transmission



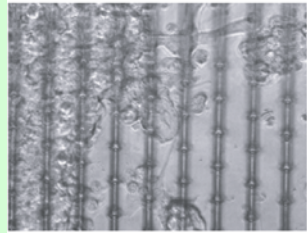
cell trapping → culturing → stimulation → response



Cell trapping & Culturing

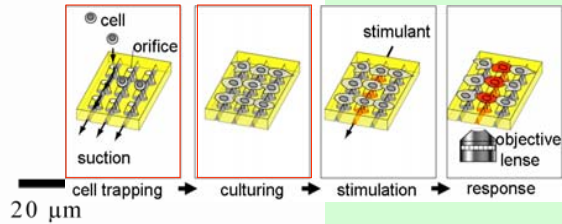


(a) schematic of cell trapping
(b) phase contrast image of cell trapping



(c) culturing of trapped MIN-m9 cells for 3 days

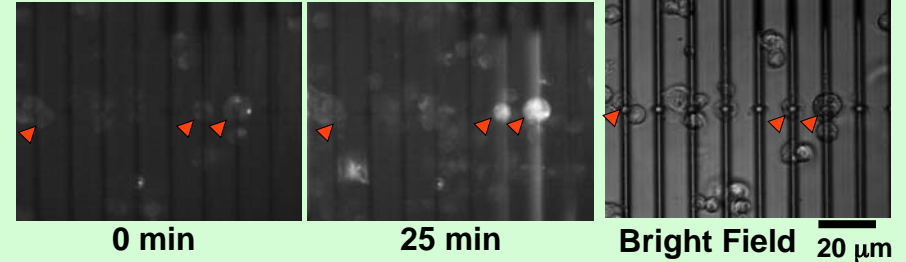
Experimental procedure



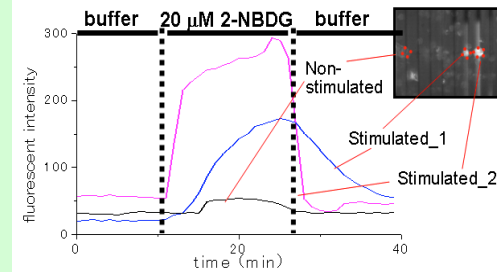
20 μ m

Stimulation

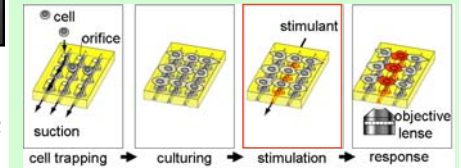
Uptake of a stimulus (fluorescent glucose analogue: 2-NBDG)



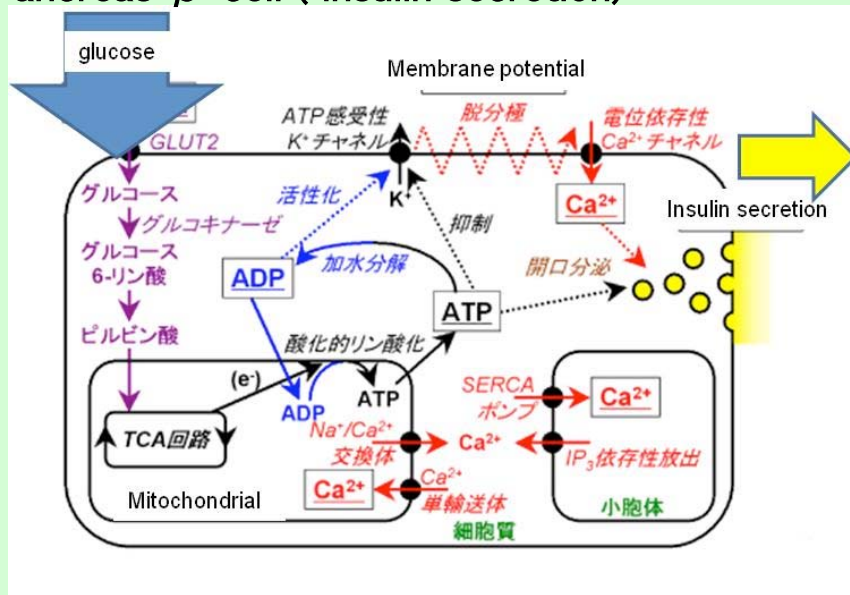
Time course of the uptake of 2-NBDG



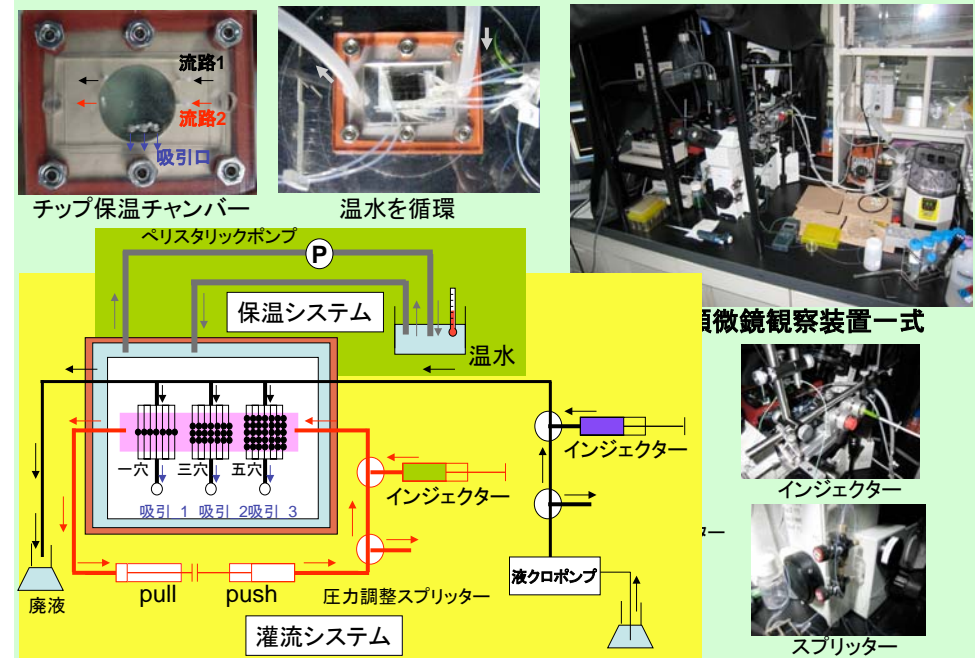
Experimental procedure



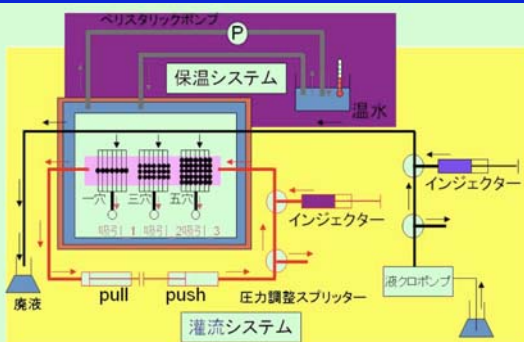
Pancreas β cell (insulin secretion)



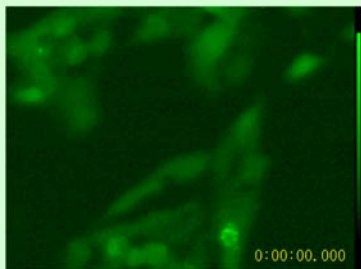
装置概観図



膵β細胞を配列して局所刺激(グルコース刺激 or insulin 刺激)を行い、液性コミュニケーションをβ細胞のCa²⁺オシレーションを計測



×5速 膵β細胞の吸引固定
 ・細胞株: MIN6-m9
 ・吸引流速: 1 μl/min
 ・吸引孔径: φ2μm



- 細胞間での刺激の伝播
- 膵β細胞へのインスリン刺激-細胞内Ca²⁺濃度上昇
 (0-5分: 0mM, 5-10分: 5.5mM, 10分-600nM Insuline + 5.5mM Glucose)

オリフィスへ配置した膵β細胞へのグルコース取り込み

位相差像

蛍光グルコース
取り込まれる

蛍光像

20 μm

蛍光デキストラン
取り込まれない

下部流路に蛍光グルコースを流した細胞のみに蛍光強度の上昇が見られる

蛍光物質を流した流路

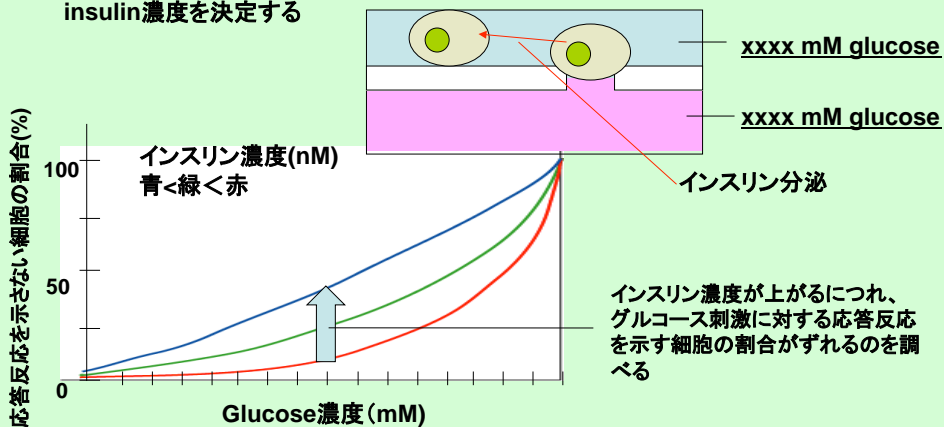
吸引固定された細胞

細胞株: MIN6-m9
 吸引孔径: φ2μm

Glucose刺激、insulin刺激の最適化

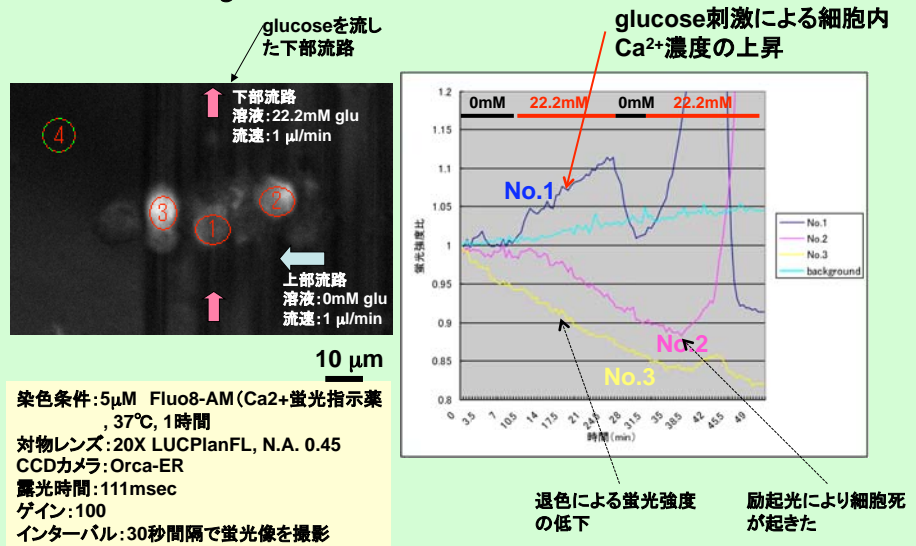
目的

使用しているMIN6-m9が、どの程度のglucoseまたはinsulin濃度で刺激すると細胞応答反応を示すか調べる
 上記で求めた値から、デバイス実験における上下流路に流すglucoseまたはinsulin濃度を決定する

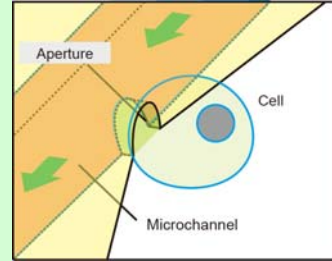
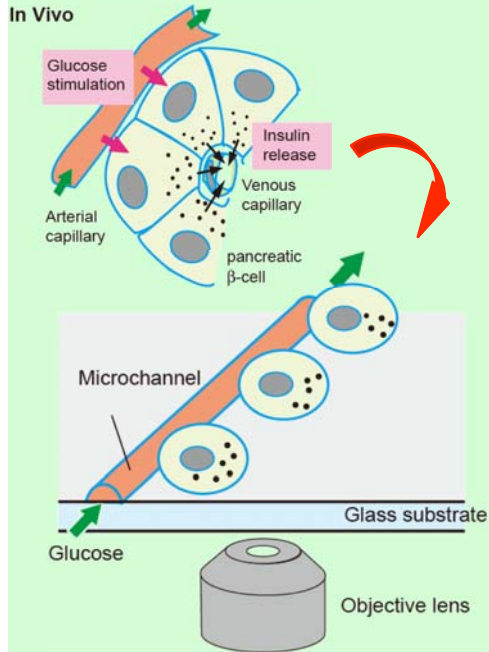


オリフィスへ配置した膵β細胞へのグルコース局所刺激を与えたときの細胞内Ca²⁺濃度変化の測定

吸引固定されたNo.1~3の細胞うち、No.1の細胞のみへ下部流路から22.2 mM glucoseを与えたときに 細胞内Ca²⁺濃度の上昇が見られる



Mimicked Tissue Micro-environment

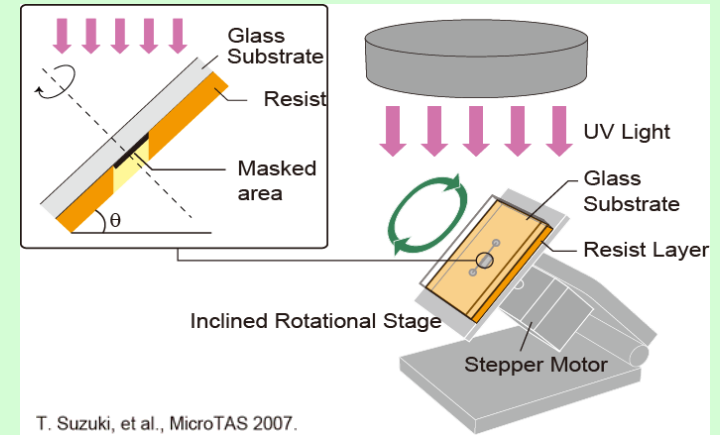


Localization and control mechanism of secreting direction

1. Apply localized stimuli
Stimulate through "Pseudo-arterial capillary"
2. Measure intracellular response
4D imaging (x,y,z and time)

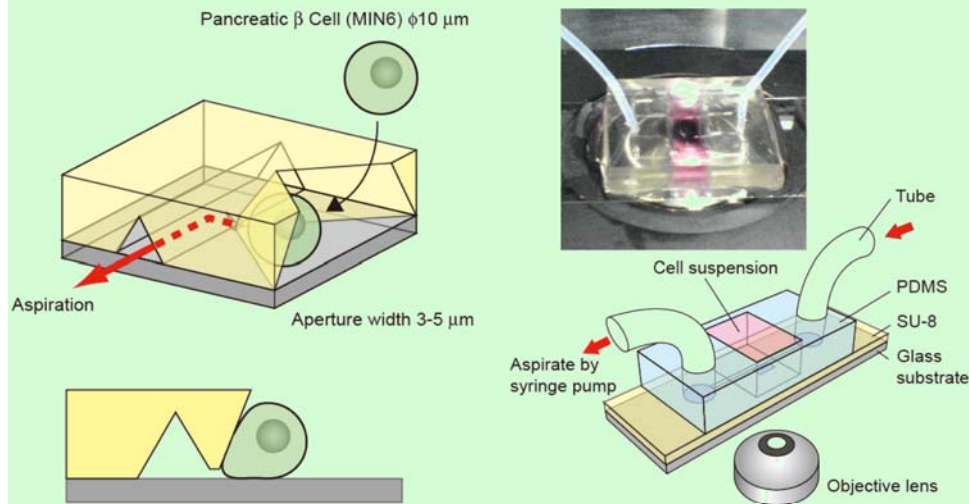
Fabrication

Multi-Directional UV Lithography.



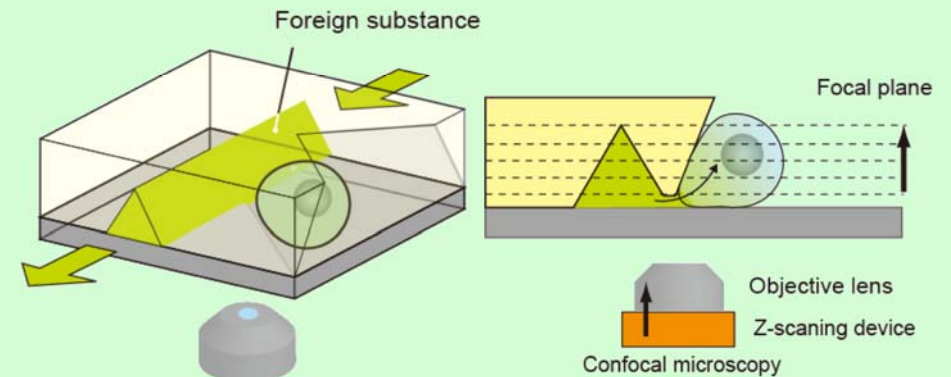
- Complex micro channel from *Single* photo mask
- *No* mask alignment process

Positioning of single cell



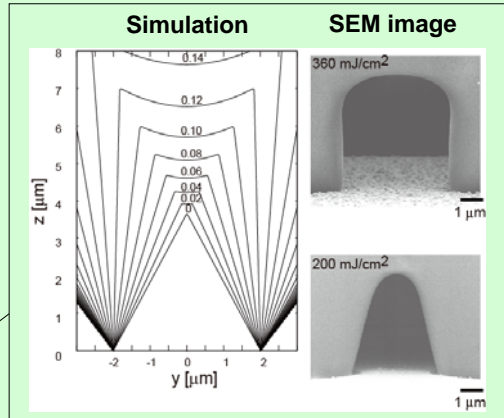
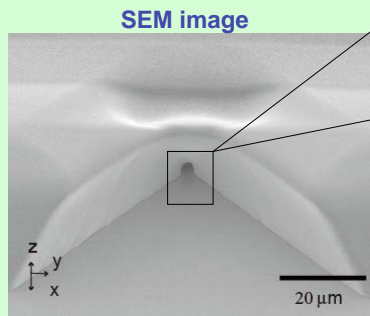
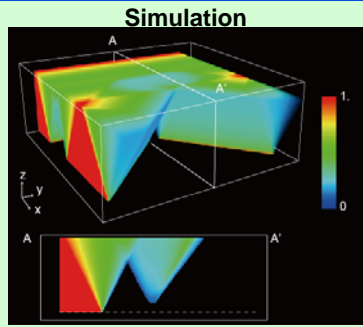
Trap single cell by aspiration through micro channel.

Setup for measuring localization and secretion



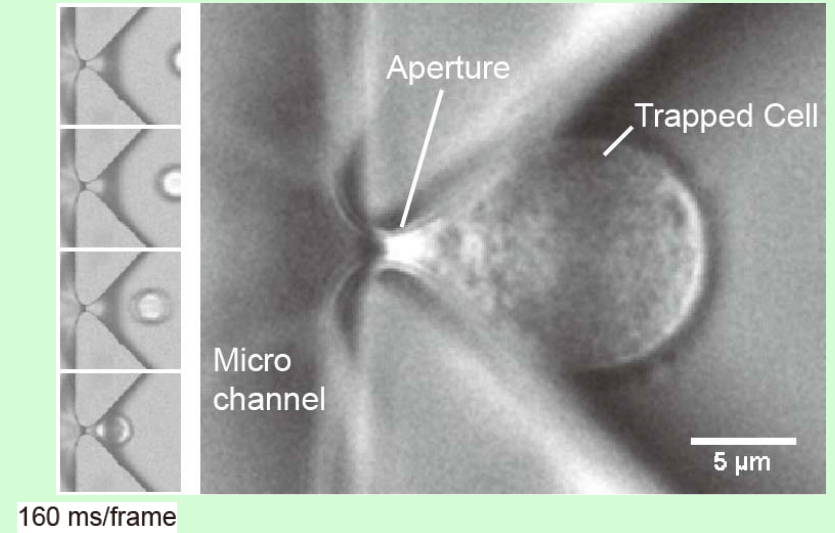
- Localized stimuli introduction into trapped cell
- 4D imaging of its uptake and intracellular responses

Micro channel and hole



- Aperture-size/shape control by exposure dose

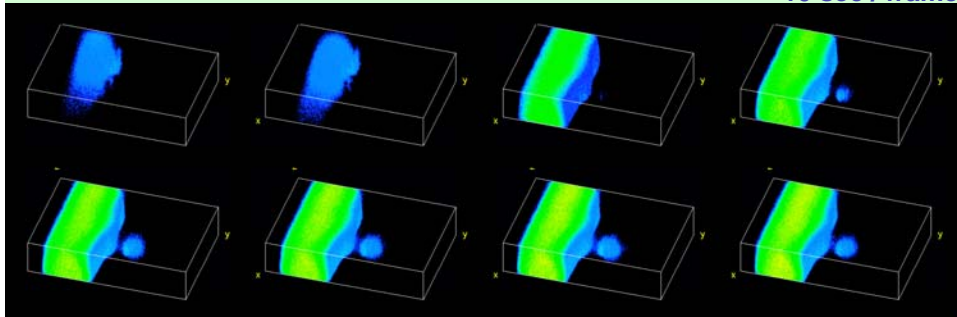
Cell positioning



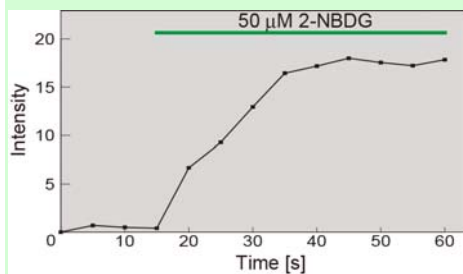
Single cell is positioned at an aperture.

Glucose instability and localization inside cell

10 sec / frame

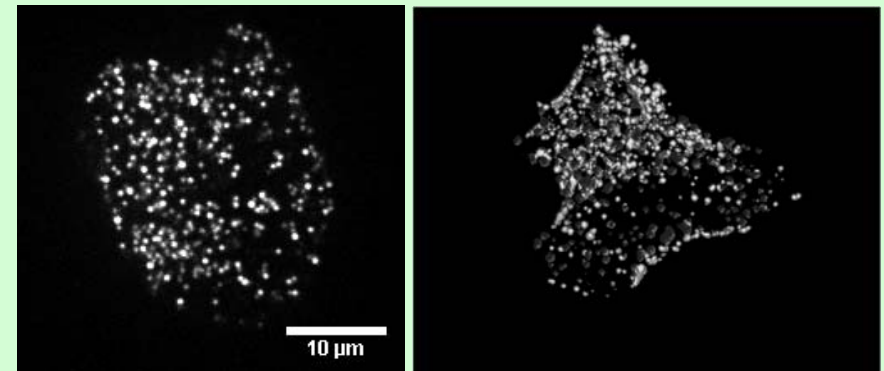


50 μM 2-NBDG (fluorescence glucose analog)



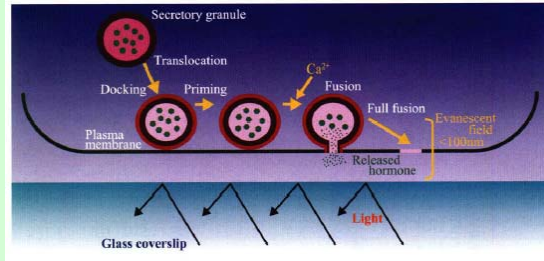
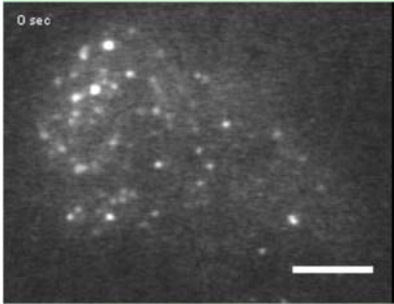
- External substances is introduced
- Glucose uptake is visualized with 4D (x,y,z and time) resolution.

Insulin GFP is introduce and imaged in β cell

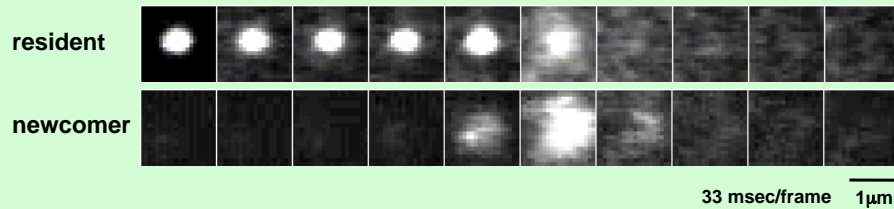


Insulin-eGFP / MIN6 cell

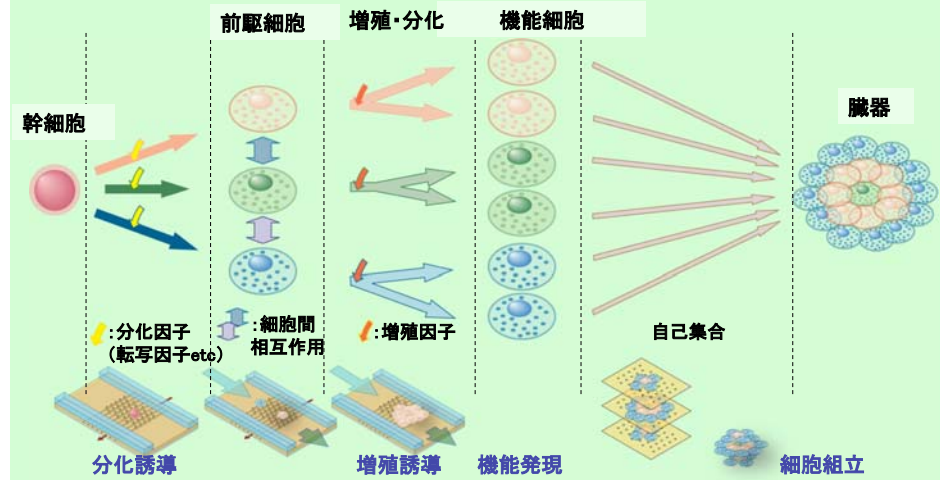
Insulin Secretion



Insulin-eGFP / MIN6 cell



発生における臓器の形成

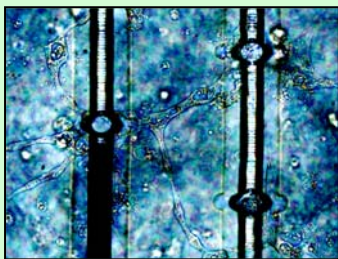
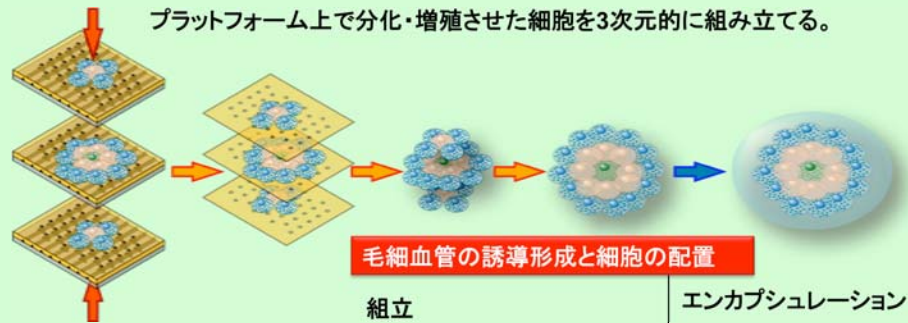


- 上のプロセスを人為的に制御・計測するためのナノ・マイクロ技術の開発を行う
- 1) 細胞間コミュニケーションの計測 (分化・増殖・機能発現過程における)
 - 2) 刺激導入や分化等 (脱分化・増殖) の制御のための因子導入
 - 3) MEMSを用いた細胞組立による組織再生

3) 細胞組み立て技術

- 再構築も可能: 例 (分離時に壊れた膵島細胞からの再構築)

プラットフォーム上で分化・増殖させた細胞を3次的に組み立てる。

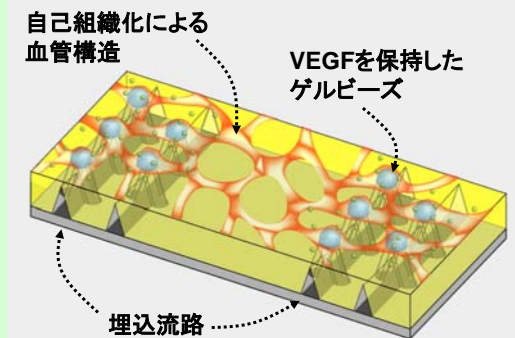


VEGFゲルビーズを用いた血管構造の誘導形成法

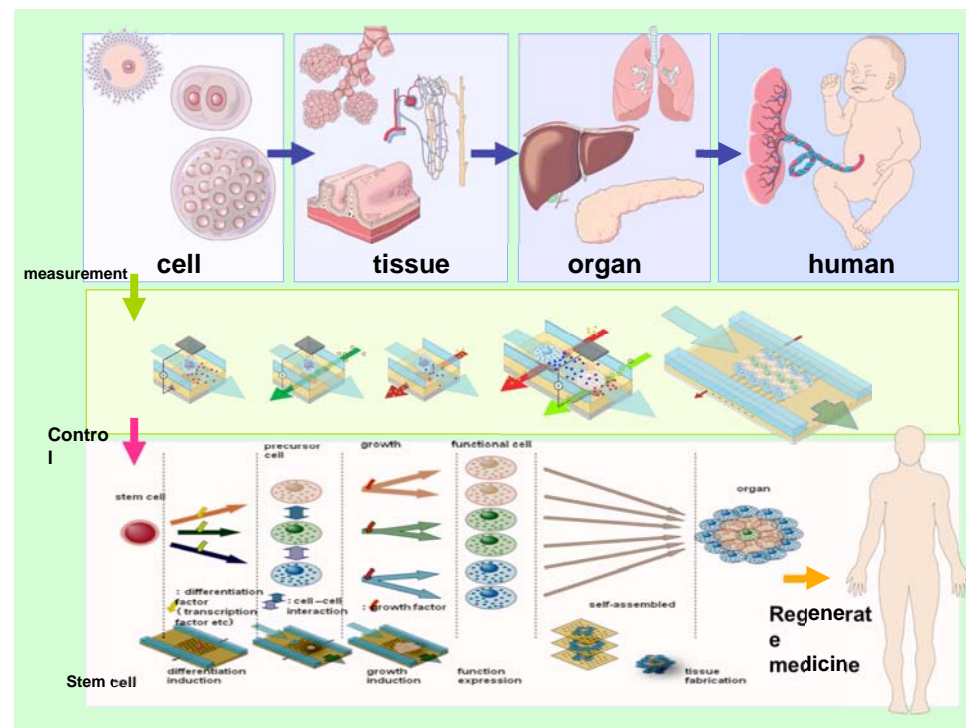
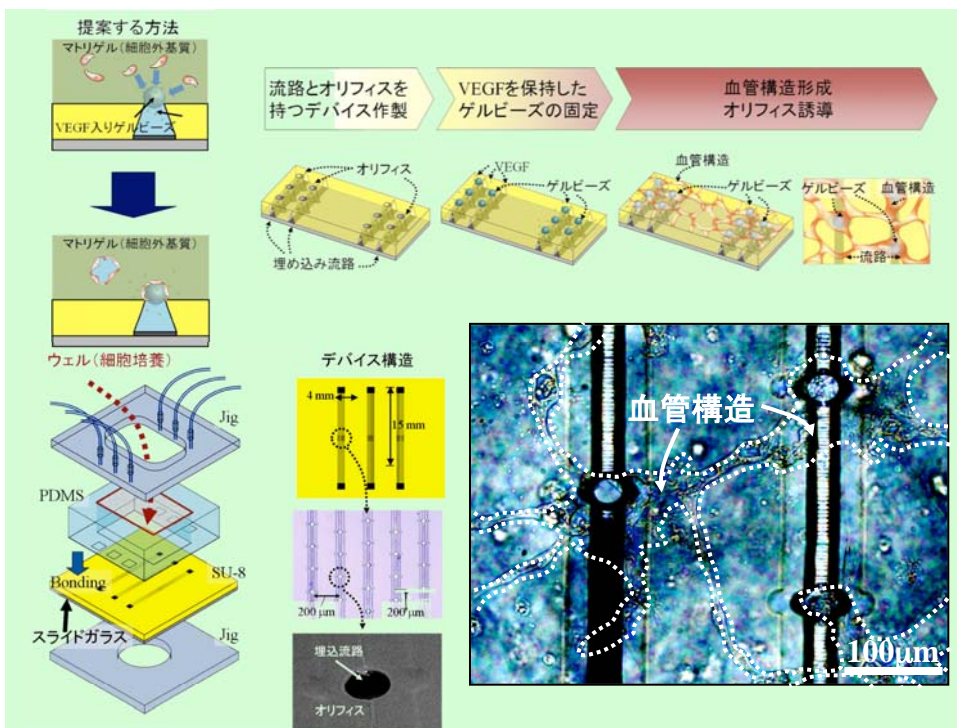
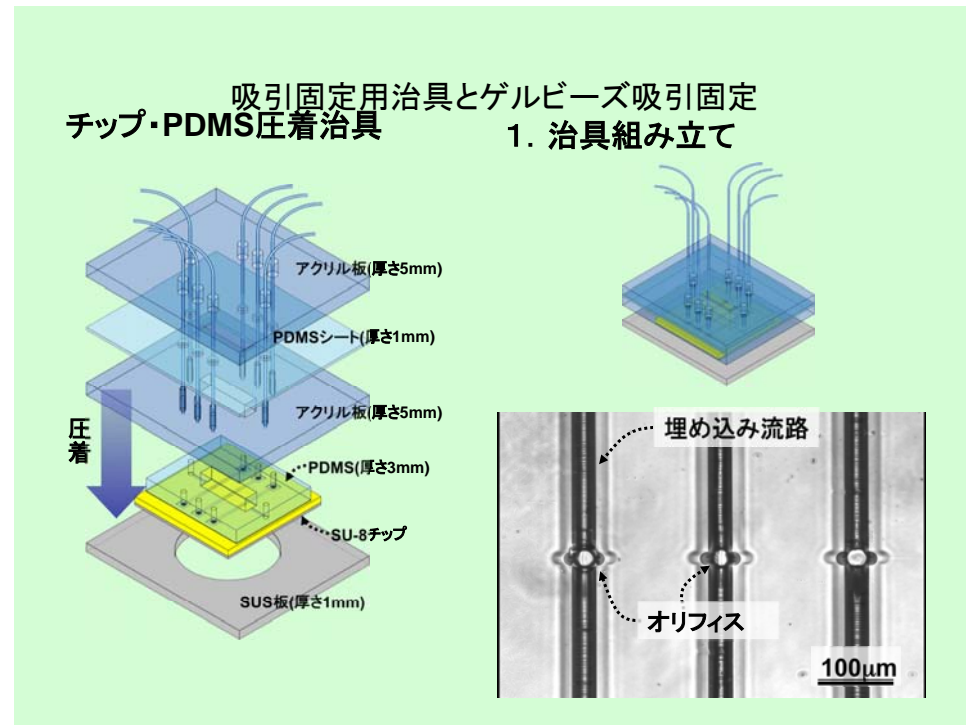
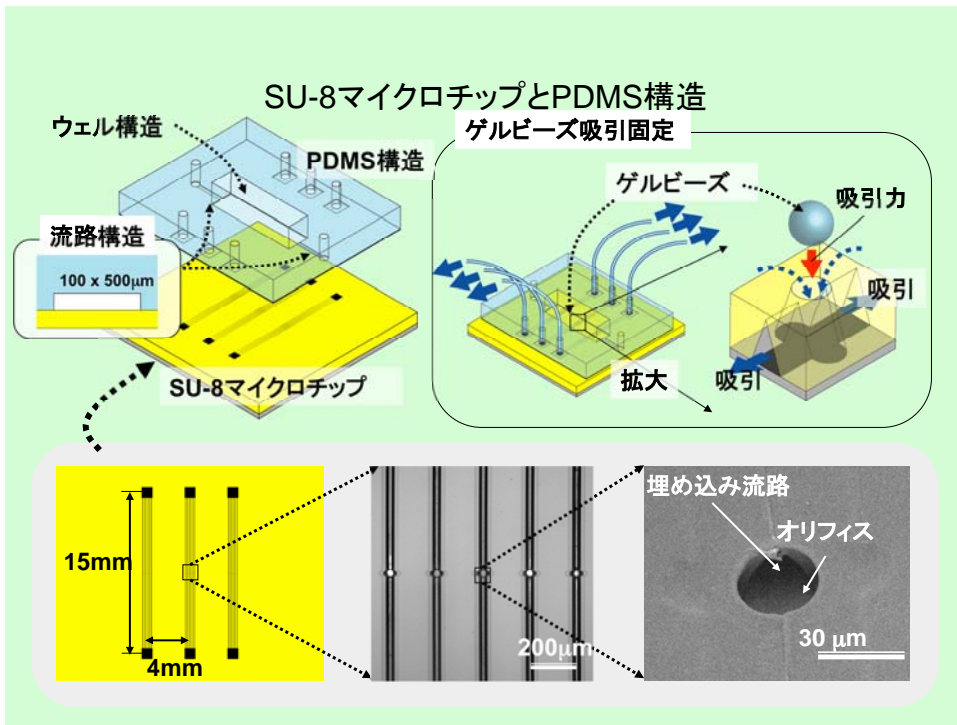
デバイスの作製とゲルビーズの吸引固定

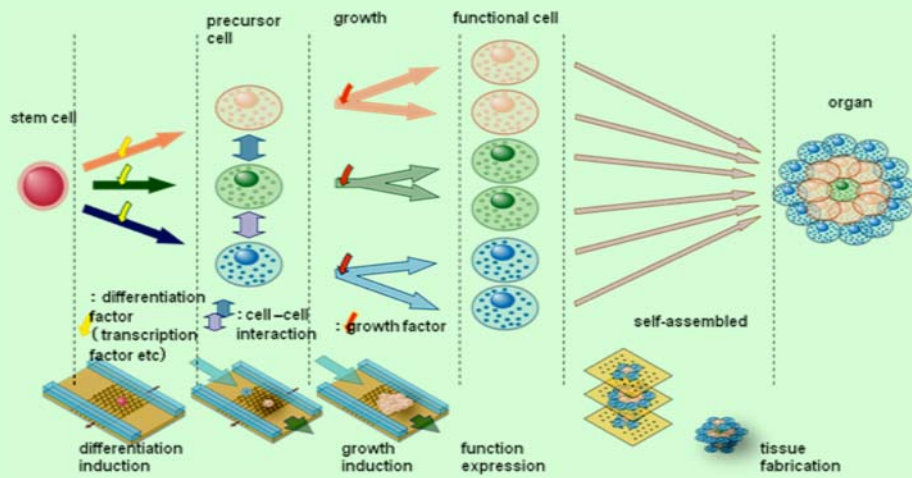
デバイス上での血管構造の誘導形成

研究目的



オリフィスに接続するような血管構造を誘導形成





- 1) Micro Device for measuring communicate the cells
 β cell- β cell, α cell- β cell, Other cell or tissue- β cell
 → Separate the cell from tissue to measuring communication
- 2) Devices for Measuring the protein and/or small molecules which communicate the cells (1 molecule level)
- 3) Micro Devices for regenerating the tissue from cell

「静聴、
 ありがとう
 」をいただきました



伝統を基礎とし、
 革新と創造の
 魅力・活力・実力ある
 京都大学を目指して